

щественно уменьшается, и значительная часть рассеянного света выходит из области локализации связанного состояния. Так, двухсолитонное на начальном участке состояние превращается на некотором расстоянии в односолитонное, а исходное односолитонное состояние на таком же расстоянии распадается.

Анализ полученных соотношений в применении к традиционным материалам акустооптики показывает, что эффект связанного состояния можно наблюдать экспериментально в коллинеарной схеме. Например, в кристалле ниобата лития, обладающем достаточной эффективностью коллинеарного рассеяния света на продольных упругих волнах $M_2=2.48 \times 10^{-18} \text{ с}^3/\text{г}$ в направлении [100], при плотности акустической мощности $20 \text{ Вт}/\text{см}^2$ длительность импульса должна равняться 4 мкс, тогда область локализации связанного состояния составит 2.6 см. Представленные результаты позволяют перейти непосредственно к экспериментальному изучению акустооптических солитонов связанного состояния, необходимость которого обусловлена перспективой создания на основе этого явления различных устройств оптической обработки цифровой информации.

С п и с о к л и т е р а т у р ы

- [1] Белокурова О.И., Шербаков А.С. // Письма в ЖТФ. 1989. Т. 15. В. 18. С. 1-5.
- [2] Уизем Дж. Линейные и нелинейные волны. М.: Мир, 1977. 622 с.
- [3] Белокурова О.И., Шербаков А.С. Пространственный модулятор света на связанных оптических состояниях / В сб.: Оптические и оптоэлектронные средства обработки информации. Л.: ЛИЯФ-ФТИ. С. 171-178.

Ленинградский
политехнический институт
им. М.И. Калинина

Поступило в Редакцию
25 апреля 1990 г.

Письма в ЖТФ, том 16, вып. 16

26 августа 1990 г.

06.1

© 1990

ВТОРИЧНАЯ ИНЖЕКЦИЯ НОСИТЕЛЕЙ В ДИОДАХ ШОТТКИ

Л.П. А м о с о в а, И.Я. М а р м у р,
Я.А. О к с м а н

Избыточная энергия носителей, требуемая для преодоления ими барьера Шоттки при фотоинжекции, поставляется квантами излучения [1]. Можно думать, что сходный вид инжекции возможен также

при термализации горячих носителей в приконтактной области диода. В этом случае неравновесные электроны или дырки, разогретые полем в обедненной области полупроводника, отдают свою энергию носителям металла, стимулируя тем самым переход последних через барьер. Внешним проявлением этого явления, которое по аналогии с вторичной эмиссией можно назвать вторичной инжекцией, будет усиление первичного фототока, возникающего в результате межзонных переходов или надбарьерной фотоинжекции из металла. Настоящая работа посвящена выявлению подобного усиления первичного фототока в диодах Шоттки.

Сходная задача о несамостоятельном разряде в разреженном газе, включающая как объемную, так и поверхностную ионизацию, рассматривалась Таунсендом [2]. Полный ток с учетом ударного размножения равен в этом случае

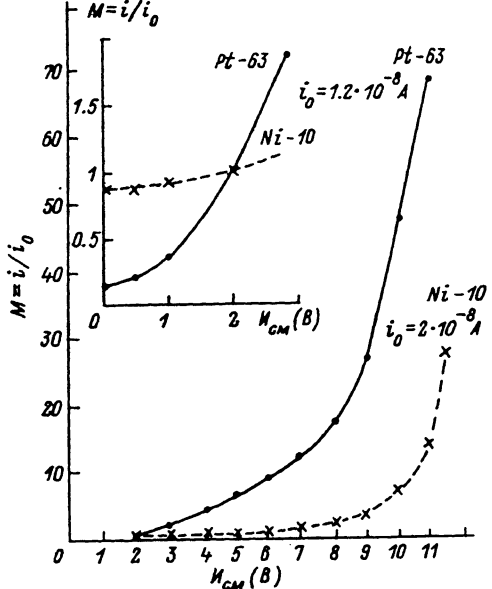
$$i = i_0 \frac{(\alpha - \beta) e^{(\alpha - \beta)L}}{(1 + \gamma)\alpha - (\alpha\gamma + \beta)e^{(\alpha - \beta)L}}, \quad (1)$$

где i_0 – первичный ток электронов с катода, L – расстояние между катодом и анодом, α и β – числа ионизаций на единице пути в направлении поля, производимых соответственно электроном и ионом, γ – число вторичных электронов, выбитых из металла положительным ионом. Рассматривая далее диоды Шоттки на основе дырочного кремния, необходимо учесть, что первичный фототок создается не эмиссией электронов, а фотоинжекцией дырок, что влечет за собой при использовании (1) перемену местами коэффициентов α и β . Так как в кремнии $\alpha \gg \beta$ [3], то для соответствующих диодов Шоттки (1) трансформируется к виду

$$M = \frac{i}{i_0} \approx \frac{1}{(1 + \frac{\beta}{\alpha}\gamma) - (1 + \gamma)\frac{\beta}{\alpha}e^{-\alpha L}}, \quad (2)$$

где γ – число вторичных дырок, инжектируемых из металла электроном, L – толщина слоя объемного заряда. Рост усиления M отвечает увеличению положительной обратной связи, которая, согласно (2), зависит помимо α и β от γ . У диодов, отличающихся высотой барьера (φ_f), при одинаковых α и β , зависящих исключительно от полупроводникового материала и напряжения смещения, большему усилинию в соответствии с (2) отвечает большее γ , что естественно связывать с меньшим φ_f .

Справедливость приведенных соображений проверялась сопоставлением зависимостей усиления от напряжения обратного смещения – $M(U_{cm})$ для двух типов диодов на $p-Si$ (КДБ, 5 Ом·см). В диодах первого типа была использована в качестве металлического контакта платина ($\varphi_f \approx 0.2$ эВ [1]), в диодах второго типа – никель ($\varphi_f \approx 0.5$ эВ [4]). Для контроля φ_f регистрировалась реакция диодов на излучение 3.39 мкм. Фотоответ наблюдался толь-



Зависимости внутреннего усиления фототока диодов Шоттки $Pt-Si(p)$ и $Ni-Si(p)$ от напряжения обратного смещения. $T=77$ К. Частота модуляции излучения 1.15 мкм – 450 Гц. Мощность излучения – ~3 мВт. i_0 – фототок при смещении 2 В.

ко на диодах с платиновым покрытием, что отвечает неравенству $\varphi_{\delta}^{Pt} < 0.37$ эВ $< \varphi_{\delta}^{Ni}$, подтверждающему приведенные выше данные о величине φ_{δ} . При изготовлении диодов на шлифованные и полированные пластинки кремния толщиной 0.5 мм наносились через маску с отверстием ρ 1 мм катодным и термическим распылением непрозрачные слои платины и никеля. Противоположные стороны пластин полировались и на их периферию наносился алюминиевый омический контакт. Перед нанесением металла все поверхности протравливались. Металлические слои, напыленные на кремний, отжигались при температурах от 200 до 600 С. Ток к диодам подводился через прижимные контакты. Для фотовозбуждения был использован лазер ЛГ-126, генерировавший излучение 1.15 и 3.39 мкм. Измерения велись при температуре жидкого азота. Засветка диодов осуществлялась со стороны подложки излучением 1.15 мкм, что приводило к фотоинъекции дырок из платины и никеля в кремний.

Из нескольких партий диодов были отобраны образцы с минимальными темновыми токами; как правило, при $U_{CM} < 3$ В они не превышали долей мкА. На приведенном рисунке представлены типичные зависимости усиления для диодов обоих типов на шлифованных подложках от напряжения смещения. За величину первичного фототока i_0 на графиках принято его значение при смещении 2 В.

Аналогичные зависимости для диодов на полированных подложках отличались меньшей крутизной; при $U_{CM} \approx 10-12$ В усиление платиновых диодов с малыми темновыми токами не превышало 4-5, а никелевых - менее 2. При больших напряжениях обычно возрастал низкочастотный фликкер-шум в виде сравнительно редких импульсов большой амплитуды. По всей видимости эти импульсы связаны с образованием микроплазм на шероховатостях подложки и краях металлического слоя. Рост напряжения до 10 В, как правило, сопровождался увеличением отношения сигнал/шум.

Особенностью представленных на рисунке зависимостей является значительно более резкое возрастание усиления у диодов с платиновыми контактами по сравнению с никелевыми в области сравнительно малых напряжений. Это можно объяснить, исходя из представлений о влиянии $\gamma(\varphi_\delta)$ на величину усиления, иллюстрируемого (2). Нужно также учесть шероховатость подложки, на которую наносится платина, приводящую к тому, что поле в различных точках диода различно и рост U_{CM} приводит к увеличению эффективной площади контакта, участвующей в усилии первичного тока. Принимая $L \approx 2.5 \cdot 10^4$ см, можно оценить поле в области объемного заряда при $U_{CM} \approx 5$ В как $E \approx 2 \cdot 10^4$ В/см, что, согласно (2) и [3], явно недостаточно для $M \gg 1$. Это заставляет думать, что реальное среднее поле с учетом шероховатости значительно больше. Если считать его $\sim 3 \cdot 10^5$ В/см и воспользоваться приведенными в [3] значениями α и β , то для $M \approx 50$ (образец P_7 - 63) получаем правдоподобную величину $\gamma \approx 2.5$.

Внутреннее усиление фототока в диодах Шоттки наблюдалось в [5, 6], где оно не связывалось с вторичной инъекцией носителей. Полученные в настоящей работе данные позволяют предположить, что в наблюдаемом на диодах Шоттки с низкими барьерами усиления участвует процесс типа Оже, приводящий к 'вторичной' инъекции дырок.

С п и с о к л и т е р а т у р ы

- [1] Elabd H., Kosonosky W.E. // RCA Rev. 1982, v. 43, N 4, p. 569-589.
- [2] Капцов Н.А. Электрические явления в газах и вакууме. М.;Л.: ОГИЗ, 1947. 808 с.
- [3] Техника оптической связи. Фотоприемники / Под ред. У. Тсанга. М.: Мир, 1988. 527 с.
- [4] Родерик Э.Х. Контакты металл-полупроводник. М.: Радио и связь, 1982. 208 с.
- [5] Шеферд, мл., Янг, Тейлор // ТИИЭР. 1970. Т. 58. № 8. С. 143-144.
- [6] Safrankova J. and Kordos P. // Solid State Electronics. 1987. V. 30. N 1. P. 93-96.

Поступило в Редакцию
2 июня 1990 г.